

## بررسی تأثیر تابع هدایت هیدرولیکی در تحلیل نشت غیر محصور (مطالعه موردی سد خاکی حسنلو)

حجت احمدی<sup>۱\*</sup>، وحید رضاواردی نژاد<sup>۲</sup>

تاریخ دریافت: ۱۳۹۲/۷/۲۰ تاریخ پذیرش: ۱۳۹۳/۵/۲۲

### چکیده

در این تحقیق اهمیت به کارگیری توابع نفوذپذیری در تحلیل نشت دائم و غیر دائم (انتقالی) غیر محصور در محیط‌های همگن و غیر همگن بررسی شد. برای این منظور حالات مختلف جریان در محیط‌های همگن و غیر همگن با لحاظ خصوصیات هیدرولیکی مصالح مستخرج از بانک اطلاعاتی خاک‌های غیر اشباع (UNSODA) و به کمک یک مدل کامپیوترا مبتنی بر روش اجزای محدود مطالعه شد. برای اعتبارسنجی نتایج این تحلیل، از داده‌های ابزار دقیق ثبت شده سد حسنلو طی دوره یکساله استفاده گردید. نتایج بررسی‌ها نشان داد که در محیط غیر همگن و سدهای ناحیه‌بندی شده، خصوصیات هیدرولیکی مصالح پایین دست نسبت به مصالح بالا در موقعیت سطح نشت مؤثرتر است. همچنین طبق یافته‌های تحقیق، موقعیت سطح نشت در شرایط به کارگیری هدایت هیدرولیکی ثابت نسبت به هدایت هیدرولیکی متغیر در شرایط بالا آمدن سطح آب در مخزن رشد آهسته‌تری داشته و در عین حال در شرایط پایین افتادن سطح آب در مخزن، سرعت زهکشی مصالح بیشتر می‌باشد. مقایسه داده‌های واقعی ثبت شده با نتایج مدل نشان می‌دهد که جهت حصول نتایج واقع بینانه لازم است خصوصیات هیدرولیکی مصالح به صورت تابع هدایت هیدرولیکی تعریف گردد یا اینکه حداقل برای مصالح پایین دست این شرایط رعایت شود.

**واژه‌های کلیدی:** تابع هدایت هیدرولیکی، مصالح، سد خاکی، نشت

### مقدمه

(2005). قابلیت حرکت آب در محیط ناپیوسته خاکی متأثر از تابع هدایت هیدرولیکی است که با توجه به میزان آب منفذی تعییر کرده و با آن رابطه عکس دارد. به عبارت دیگر وابسته به درجه اشباع و یا مقدار مکش خاک می‌باشد. لذا به منظور تحلیل صحیح نشت از بدنه سدهای خاکی لازم است که ناحیه غیر اشباع ایجاد شده در بدنه یک سد خاکی کاملاً مشخص گردد. نقش این ناحیه علاوه بر محاسبه مقدار نشت و طراحی این سازه‌ها و در ارائه بهترین طرح هیدرولیکی به منظور ارائه سطح مقطع مناسب از اهمیت ویژه‌ای برخوردار است (Xu et al., 2003). علاوه بر این، به دلیل اینکه خط نشت و یا به عبارت دیگر توزیع فشار آب منفذی نقشی اساسی در پایداری بدنه سد خاکی ایفا می‌کند؛ لذا تعییرات درجه اشباع در بدنه سد خاکی تحت این شرایط تأثیر مستقیم بر ضریب اطمینان پایداری خواهد داشت (Srivastava et al., 2010). آنچه که از تحقیق بر روی نشت از سدهای غیرهمگن با هسته رسی حاصل شده است نشان می‌دهد که به منظور آنالیز نشت ضروری بر بررسی نشت از کل بدنه و بخش‌های با نفوذپذیری بالا وجود ندارد و بررسی نشت از هسته به تنها ی کافی می‌باشد به طوریکه آنالیز درست نشت در هر دو حالت بایستی نتایج یکسانی ارائه دهد (Balaam., 2005). روش‌های مستقیم و آزمایشگاهی ارائه شده برای تعیین مقدار هدایت هیدرولیکی در

امروزه با پیشرفت تکنولوژی، کاربرد گسترده مدل‌های ریاضی و کامپیوترا در تحلیل مسائل مختلف مهندسی امری ضروری است؛ به طوریکه در چند دهه گذشته مدل‌های مختلف کامپیوترا جهت تحلیل و آنالیز مسائل نشت، حرکت آب در محیط‌های مخلخل، انتقال آلودگی‌ها و موارد مشابه توسعه یافته است. با این حال مهم‌ترین محدودیت به کارگیری این مدل‌ها مربوط به تعیین خصوصیات هیدرولیکی محیط و خصوصاً تعییرات رطوبت و به تبع آن تعییرات نفوذپذیری محیط در شرایط غیر اشباع می‌باشد (Ghanbarian-Alavijeh et al., 2010). تحلیل ریاضی مسائل مربوط به حرکت آب در محیط‌های مخلخل با هندسه‌های محصور نسبتاً ساده می‌باشد ولی در هندسه‌های غیر محصور به دلیل تعییرات شدید در نفوذپذیری خاک، تحلیل و ارائه نتایج دقیق بسیار مشکل و پیچیده می‌باشد و به همین دلیل در اکثر کتب و متون علمی مکانیک خاک، تحلیل ریاضی و عددی چنین مسائلی خالی است (Ji et al., 2010).

۱- استادیار گروه مهندسی آب، دانشکده کشاورزی، دانشگاه ارومیه

۲- استادیار گروه مهندسی آب، دانشکده کشاورزی، دانشگاه ارومیه

(Email: hojjat.a@gmail.com) \*

- نویسنده مسئول:

بخشی از هندسه حاکم خواهد بود که در آنجا جریان آب برقرار باشد. به این ترتیب دامنه حل معادله در چنین شرایطی خود جزء مجہولات به حساب می‌آید.

**معادلات حاکم:** معادله حاکم بر جریان آب در محیط متخلخل و نشت در حالت دو بعدی به شکل زیر می‌باشد:

$$\frac{\partial}{\partial x} \left( k_x \frac{\partial H}{\partial x} \right) + \frac{\partial}{\partial y} \left( k_y \frac{\partial H}{\partial y} \right) + Q = \frac{\partial \theta}{\partial t} \quad (1)$$

که در آن  $H$  انرژی کل،  $k_x$  هدایت هیدرولیکی در جهت  $x$ ،  $k_y$  هدایت هیدرولیکی در جهت  $y$ ،  $Q$  شار وارد شده از مرزهای محیط،  $\theta$  رطوبت حجمی و  $t$  زمان می‌باشد. مقدار رطوبت حجمی وابسته به تغییرات حالت تنفس و خصوصیات فیزیکی خاک است. متغیرهای حالت تنفس به صورت دو بخش  $(\sigma - u_a)$  و  $(u_a - u_w)$  بیان می‌گردد که  $\sigma$  تنفس کل و  $u_w$  به ترتیب فشار هوا و آب منفذی می‌باشد. از آنجاییکه در بخش اشباع یا غیر اشباع از بدنه یک سد خاکی مقدار تنفس کل و فشار هوای منفذی ثابت می‌باشد، لذا تغییرات رطوبت حجمی متناسب با تغییرات فشار آب منفذی خواهد بود که این فشار خود بخشنی از مقدار انرژی کل ( $H$ ) در معادله (1) می‌باشد. بدین ترتیب تغییرات رطوبت حجمی به شکل زیر قابل بیان است:

$$\frac{\partial \theta}{\partial t} = m_w \frac{\partial u_w}{\partial t} \quad (2)$$

که در رابطه فوق  $m_w$  شیب تغییرات رطوبت حجمی نسبت به تغییرات فشار آب منفذی است. مقدار انرژی کل جریان طبق معادله برنولی و با توجه به سرعت پایین حرکت آب به فرم زیر ساده می‌شود:

$$H = \frac{u_w^2}{2g} + y \quad (3)$$

که  $y$  ارتفاع استاتیکی و  $g$  وزن مخصوص آب می‌باشد. با ترکیب روابط (2) و (3) و جایگذاری آن در رابطه (1) و با توجه به اینکه ارتفاع استاتیکی هر نقطه مقدار ثابتی دارد، معادله حاکم بر پدیده نشت به شکل زیر تبدیل می‌شود:

$$\frac{\partial}{\partial x} \left( k_x \frac{\partial H}{\partial x} \right) + \frac{\partial}{\partial y} \left( k_y \frac{\partial H}{\partial y} \right) + Q = m_w \gamma_w \frac{\partial H}{\partial t} \quad (4)$$

این معادله معمولاً به یکی از روش‌های عددی اجزا و یا اختلاف محدود حل می‌شود. جهت حل معادله در هر گام زمانی، در همه این روش‌ها مقدار  $m_w$  معمولاً با توجه به مقدار فشار آب منفذی شرایط اولیه و یا محاسبه شده از گام قبلی، از روی منحنی مشخصه رطوبتی تعیین می‌گردد. علاوه بر این مقدار نفوذپذیری در بعدهای  $x$  و  $y$  با توجه به منحنی تابع نفوذپذیری به صورت مشابه استخراج می‌گردد. منحنی مشخصه رطوبتی با آزمایش بر روی نمونه خاک و به کمک دستگاه صفحات فشاری قابل تعیین است با این حال روابط تجربی فیزیکی مختلفی برای تعیین آن پیشنهاد شده است. طبق

مکش‌های مختلف (تابع هدایت هیدرولیکی) بسیار پیچیده بوده و عمدتاً محدود به مکش‌های کوچک می‌باشد (Munoz et al., 2008; Zhang et al., 2011 and Timlin et al., 1996). بهطور کلی این روش‌ها به دو دسته روش‌های ماندگار و غیرماندگار تقسیم‌بندی می‌شوند که دقیق روش‌های ماندگار در تعیین تابع هدایت هیدرولیکی بیشتر بوده با این حال بسیار زمان‌بر می‌باشد (Fredlund and Rahardjo., 1993; Zhang et al., 2011). علاوه بر روش‌های مستقیم، روش‌های غیرمستقیم تعیین تابع هدایت هیدرولیکی بر اساس منحنی مشخصه رطوبتی و مقدار رطوبت حجمی خاک ابداع شده است که به دلیل تعیین آسان‌تر این منحنی، کاربرد این روش‌ها در مدل‌های ریاضی حرکت آب در محیط‌های غیر اشباع Van Genuchten et al., 1991 مدل‌های تعیین نفوذپذیری غیر اشباع رایج‌تر می‌باشد (Sang and Sang 1991). مدل‌های تعیین نفوذپذیری غیر اشباع بر اساس منحنی مشخصه رطوبتی در دو دسته اصلی شامل مدل‌های رگرسیونی و توزیع داده‌ها (Gupta and Larson 1979; Saxton et al., 1986; Sang and Sang 2006) و یا مدل‌های تجربی بر پایه خصوصیات فیزیکی خاک می‌باشند (Arya and paris., 1981; Smetton and Gregory., 1996; Fredlund and Xing., 1994; Green and Corey., 1971; Van Genuchten., 1980) توجه به نتایج حاصل از تحقیق‌های محققان متعدد جهان در زمینه خصوصیات هیدرولیکی خاک‌های غیر اشباع، با انک اطلاعات هیدرولیکی غیر اشباع خاک (UNSODA) مشکل از انواع خاک‌های مختلف بر طبق طبقه‌بندی مثلث بافت خاک ارائه شده است (Leij et al., 1996).

در این تحقیق مسئله نشت در محیط‌های غیرهمگن در دو حالت: الف- تابع هدایت هیدرولیکی متغیر (غیر اشباع) و ب- هدایت هیدرولیکی ثابت (شباع) مورد بررسی قرار گرفته و نتایج به نشت از بدنه سد خاکی ناحیه‌بندی شده بسط داده شد و در ادامه از داده‌های ثبت شده سد خاکی حسنلو، برای اعتبار سنجی نتایج استفاده گردید.

## مواد و روش‌ها

حرکت آب در بدنه سدهای خاکی متأثر از اختلاف انرژی و منافذ موجود در آن بوده که از یک معادله دیفرانسیل با مشتقهای جزئی حاصل از دو قانون پیوستگی و اصل بقای جرم تعریف می‌گردد. که با حل معادله حاکم بر اساس هندسه و شرایط مرزی، می‌توان مسیر جریان، مقدار و انرژی آن را در هر موقعیت و زمانی مشخص کرد. با این حال در حل معادله حاکم بایستی ضرایب و پارامترهای مربوط به خصوصیات محیط متخلخل به دقیق تعیین شود. علاوه بر این در شرایطی که جریان غیر محصور باشد به طوریکه در بخش‌هایی، سطح جریان در تماس با هوا و فشار اتمسفر باشد، معادله حاکم فقط در

### هنده سه مسئله

به منظور بررسی تأثیر هدایت هیدرولیکی بخش غیراشباع در محاسبه مقدار نشت و موقعیت آن در محیط‌های همگن و غیرهمگن در شرایط ماندگار و غیرماندگار به اقتباس از کارهای ژی و همکاران و همچنین باردت و توبیتا از یک هندسه ساده شامل یک سد با مقطع مستطیلی همگن و غیر همگن نشان داده شده در شکل ۱ و ۲ استفاده شد (Bardet and Tubita., 2002; Ji et al., 2005). خصوصیات مصالح در سد مدل بر اساس داده‌های پایگاه هیدرولیکی غیر اشباع خاک (UNSODA) مربوط به دو کد ۱۰۲۳ و ۳۰۳۱ به ترتیب به عنوان یک خاک ماسه‌ای با نفوذپذیری بالا (S) و خاک رسی با نفوذپذیری کم (C) استفاده شد (Leij et al., 1996). منحنی دانه‌بندی و خصوصیات هر یک از این خاک‌ها به ترتیب در شکل ۲ و ۳ ارائه شده است.

### اعتبار سنجی مدل

برای بررسی صحت نتایج حاصل از تحلیل عددی و مدل، از داده‌ها و اطلاعات ثبت شده سد خاکی حسنلو واقع در استان آذربایجان غربی استفاده شد. شکل ۱۲ و جدول ۱ به ترتیب مقطع سد و مشخصات مصالح سد حسنلو را نشان می‌دهد. این سد خاکی از نوع ناحیه‌بندی شده و بدون هسته رسی بوده که به دلیل تشکیل شدن از دو نوع مصالح خاکی ریزدانه در بخش بالادست و درشت دانه در بخش پایین‌دست شباهت زیادی به مدل سد مجازی بررسی شده دارد. بدین‌منظور از داده‌های ثبت شده مربوط به تراز مخزن و خط نشت ثبت شده در پیزومتر واقع در فاصله ۱۱ متر از محور سد طی یک دوره ۱۲ ماهه از کارکرد سد استفاده شد. بدنه سد حسنلو از ۵ ناحیه اصلی متتشکل از لایه محافظ بالادست به ضخامت تقریبی ۰/۵ متر، بدنه بالادست با نفوذپذیری کم، لایه فیلتر و زهکش دودکشی پایین دست (در بخش قائم با ضخامت ۰/۳ متر و در بخش افقی ۰/۶ متر)، بدنه درشت دانه پایین دست و پی با نفوذپذیری خیلی کم می‌باشد. با توجه به نفوذپذیری بخش زهکش و فیلتر پایین دست که طبق گزارش طرح که تقریباً برابر بدنه پایین دست می‌باشد و ضخامت کم آن، در تحلیل آنالیزها از خصوصیات هیدرولیکی مصالح بدنه پایین دست برای بخش فیلتر و زهکش افقی استفاده گردید. علاوه بر این ضخامت کم لایه محافظ بالادست (ریپ راپ) و نفوذپذیری بسیار بالای آن تأثیر این بخش در محاسبات لحاظ نگردید. مشخصات هیدرولیکی مصالح سد بر اساس روابط آرایه شده و بر پایه منحنی دانه‌بندی و وزن مخصوص ظاهری اندازه‌گیری شده، به کمک مدل RETC بر پایه روابط ۹ و ۱۰ استخراج شد. به دلیل اشباع بودن

رابطه آریا و پاریس با تقسیم منحنی دانه‌بندی به بخش‌های مختلف، مقدار حجم منافذ خاک تعیین و با توجه به مکش ایجاد شده حجم رطوبت در توده خاک تعیین می‌گردد. بر این اساس مقدار حجم منافذ در هر بخش از منحنی دانه‌بندی به صورت زیر تعریف شده است (Aria and Paris., 1981):

$$V_i = \frac{W_i}{\rho_p} e \quad (5)$$

که در آن:  $V_i$  حجم منافذ در واحد جرم بخش  $i$  منحنی دانه‌بندی،  $W_i$  وزن ذرات جامد در واحد جرم بخش  $i$   $\rho_p$  چگالی ذرات جامد بخش  $i$  و  $e$  تخلخل خاک می‌باشد. با محاسبه مقدار حجم منافذ مقدار رطوبت حجمی به صورت زیر تعیین می‌شود:

$$\theta_i = \sum_{i=1}^n V_i \rho_p \quad (6)$$

با معلوم بودن مقدار جرم ذرات هر بخش از منحنی دانه‌بندی و فرض کروی بودن ذرات در هر بخش به قطر  $R_i$ ، تعداد ذرات خاک در هر بخش از رابطه زیر قابل تعیین خواهد بود:

$$n_i = \frac{3W_i}{4\pi R_i^3 \rho_p} \quad (7)$$

همچنین شعاع منافذ در هر بخش از رابطه پیشنهادی آریا و پاریس حاصل می‌شود:

$$r_i = R_i \left[ \frac{4 \pi n_i^{(1-\alpha)}}{6} \right]^{0.5} \quad (8)$$

در رابطه فوق  $\alpha$  ضریب شکل بوده که به صورت تجربی مقدار آن ۱/۳۸ توصیه شده است. با توجه به شعاع منافذ و نیروی کاپیلاری مقدار مکش ماتریک در هر بخش به شکل زیر تعیین می‌گردد:

$$\Psi_i = \frac{2T \cos \beta}{\rho_w g r_i} \quad (9)$$

در رابطه فوق  $\beta$  زاویه تماس آب و ذرات جامد (برابر با صفر) و  $T$  نیروی کشش سطحی برابر با ۷۲/۸ دین بر سانتی‌متر باشد. بدین ترتیب برای هر بخش با معلوم بودن مقدار مکش و رطوبت حجمی، منحنی مشخصه تعیین می‌گردد. با معلوم بودن منحنی نگهداشت رطوبتی، برآسان رابطه ون گنوختن و همکاران، هدایت هیدرولیکی غیراشباع خاک در مکش‌های مختلف بر اساس مقدار هدایت هیدرولیکی (Van Genuchten., 1991) اشباع خاک حاصل می‌شود:

$$k_\theta = k_s \left[ \frac{[1 - (\alpha \Psi^{(n-1)})(1 + (a \Psi^n)^{-m})]^2}{((\alpha \Psi)^n)^{\frac{m}{2}}} \right] \quad (10)$$

در رابطه فوق  $k_\theta$  هدایت هیدرولیکی غیر اشباع،  $a$ ،  $n$  و  $m$  ضرایب ثابت که از روی منحنی مشخصه رطوبتی تعیین می‌شود.  $\Psi$  مقدار مکش ماتریک می‌باشد.

اشباع خاک شبیه منحنی نشت ملایمتری نسبت به شرایط به کارگیری تابع هدایت هیدرولیکی دارد. مقدار نشت محاسبه شده برای این دو حالت در جدول ۲ ارائه شده است. مقایسه دو مقدار نشت کل نشاندهنده عبور جریان نشت بیشتری در حالت هدایت هیدرولیکی ثابت نسبت به حالت تابع هدایت هیدرولیکی است. همچنین مقایسه مقدار جریان عبوری از بالا و زیر خط نشت برای این شرایط نشان داد که در حالت به کارگیری هدایت هیدرولیکی ثابت، بخش قابل ملاحظه‌ی جریان عبوری از بخش بالای خط نشت می‌باشد در حالیکه در حالت به کارگیری تابع هدایت هیدرولیکی، جریان ناچیزی از بالای خط نشت عبور می‌کند که به دلیل غیر اشباع بودن مصالح بالای خط نشت نتیجه حاصل منطقی می‌باشد. این شرایط باعث می‌گردد که جریان عبوری متمرکز بر قسمت اشباع و زیر سطح ایستابی بوده و در نتیجه ضخامت لایه اشباع کاهش یافته و سطح عبوری جریان محدود شده و در نهایت دبی محاسبه شده در این شرایط نسبت به حالت استفاده از هدایت هیدرولیکی ثابت کمتر باشد.

### محیط همگن، نشت غیر دائم

به منظور بررسی تأثیر به کارگیری هدایت هیدرولیکی ثابت به جای تابع هدایت هیدرولیکی در آنالیز نشت در شرایط ناپایدار، مدل سازی نشت از سد همگن با مقطع مستطیلی در دو حالت افزایش و کاهش سطح نشت انجام گردید. شکل ۵ نتیجه بررسی عددی برای نشت ناپایدار را در حالتی که سطح آب در بالادرست روند افزایشی داشته را نشان می‌دهد. در این بررسی شرایط مرزی بالادرست بدین صورت بوده که تراز آب در بالادرست با سرعت ثابت در مدت یک ماه از سطح صفر به سطح تراز ۲۰ متر افزایش یافته و سپس ثابت مانده است. به منظور مقایسه واضح تأثیر هدایت هیدرولیکی اشباع ثابت و متغیر در این حالت، چندین گام زمانی مساوی از این آنالیز ارائه شده است. منحنی‌های سطح نشت محاسبه شده، نشان می‌دهد که با افزایش زمان، سطح نشت و ضخامت بخش اشباع به ترتیب به سمت بالا و پایین دست گسترش پیدا می‌کند. مقایسه این رفتار برای دو حالت هدایت هیدرولیکی ثابت و متغیر نشان می‌دهد که افزایش ارتفاع سطح نشت در بخش‌های بالادرست در حالت به کارگیری هدایت هیدرولیکی متغیر سریع‌تر می‌باشد با این حال به سمت پایین دست در زمان‌های مساوی از زمان شروع نشت، بخش کمتری اشباع می‌شود. این موضوع نشان می‌دهد که در حالت بکارگیری هدایت هیدرولیکی ثابت مقدار فشار آب منفذی در بالادرست نسبت به حالت استفاده از هدایت هیدرولیکی متغیر کمتر بوده در حالی که در پایین دست، عکس این حالت اتفاق می‌افتد.

دائمی پی سد، تغییرات مکش در این بخش از مصالح، قابل ملاحظه نبوده و به همین منظور مقدار هدایت هیدرولیکی ثابت و برابر با مقدار اشباع، برای این بخش از مصالح استفاده شد. برای ارزیابی صحت نتایج، داده‌های مشاهده شده در پیزومتر سد حسنلو با نتایج مدل بر اساس حالات مختلف به کارگیری توابع هدایت هیدرولیکی مورد مقایسه قرار گرفت بر این اساس از دو شاخص ریشه میانگین مربعات خطا (RMSE) و شاخص ناش-ساتکلایف (Nash-Sutcliffe NSE)، استفاده شد.

$$\text{RMSE} = n^{-1} \left( \sum_{i=1}^n (y_i^{\text{obs}} - y_i^{\text{sim}})^2 \right) \quad (11)$$

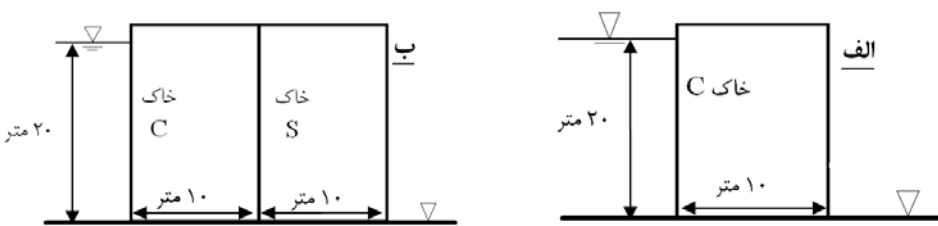
$$\text{NSE} = 1 - \left[ \sum_{i=1}^n (y_i^{\text{obs}} - y_i^{\text{sim}})^2 \right] / \left[ \sum_{i=1}^n (y_i^{\text{obs}} - y_{\text{mean}}^{\text{obs}})^2 \right] \quad (12)$$

که  $y_i^{\text{obs}}$  داده‌های مشاهده شده،  $y_i^{\text{sim}}$  داده‌های شبیه‌سازی و  $y_{\text{mean}}^{\text{obs}}$  تعداد داده‌های مورد مقایسه می‌باشد. شاخص ناش-سوتکلایف یک ضریب نرمال شده آماری می‌باشد که میزان انطباق داده‌های مشاهده‌ای و شبیه‌سازی را ارزیابی می‌کند. دامنه تغییرات این ضریب بین ۱ و ∞ - بوده به طوریکه ۱ بیشترین و بهترین انطباق را نشان می‌دهد و با کاهش مقدار این ضریب، دقت مدل هم کاهش پیدا می‌کند و نتایج مدل تا زمانی قابل قبول است که مقدار این ضریب بیشتر از صفر باشد (Moriasi et al., 2007).

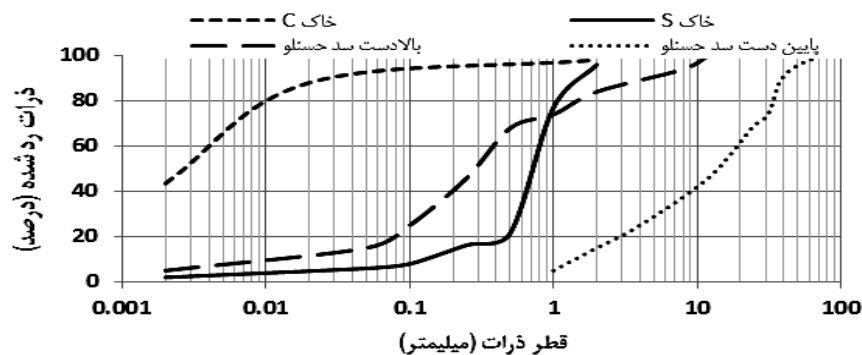
## نتایج و بحث

### محیط همگن، نشت دائم

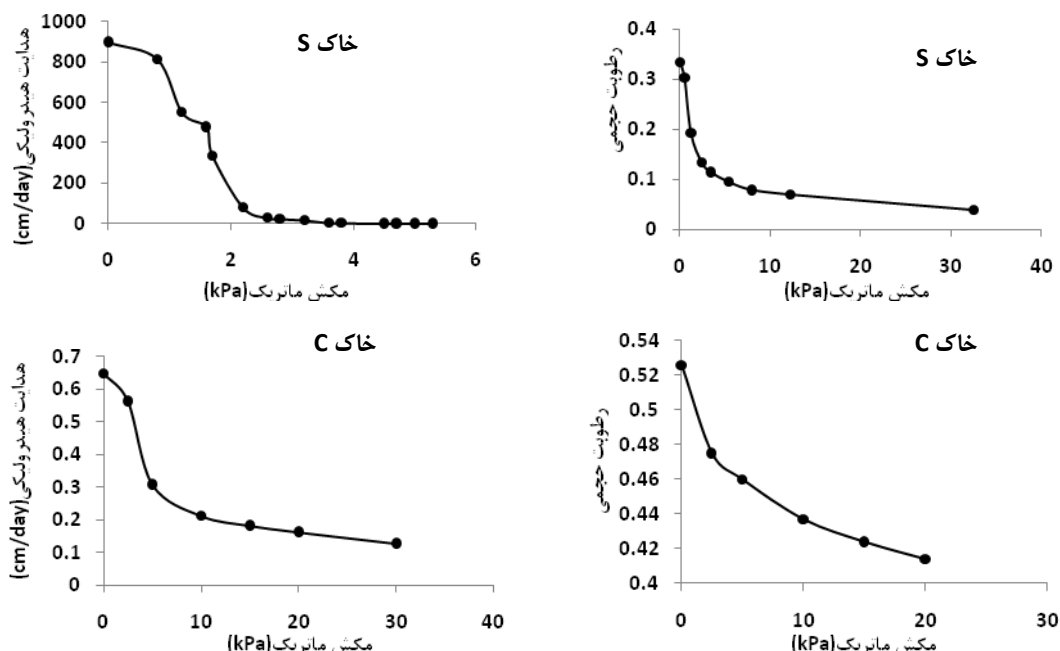
شکل ۴ خط نشت مربوط به نشت آب از سد مستطیلی همگن (با مخصوصات هیدرولیکی ارائه شده در شکل ۳) را برای دو حالت مختلف هدایت هیدرولیکی اشباع (ثابت) و تابع هدایت هیدرولیکی (متغیر) در شرایط نشت دائم نشان می‌دهد. با توجه به این شکل خط نشت حاصل از تحلیل نشت برای حالت به کارگیری هدایت هیدرولیکی ثابت و متغیر اندکی متفاوت است. به طوریکه در حالت هدایت هیدرولیکی متغیر، خط نشت در نیمه بالادرست از بدنه دیوار کمی بالاتر از خط نشت حالت هدایت هیدرولیکی ثابت است. در مقابل به سمت پایین دست، خط نشت مربوط به حالت هدایت هیدرولیکی ثابت، بالاتر از حالت متغیر است. با توجه به ابعاد هندسی مساله بررسی شده سطح نشت در حالت متغیر حدود ۱۰ (۱/۵ متر) کمتر از حالت تابع هدایت هیدرولیکی ثابت می‌باشد. البته در اینجا به دلیل عدم وجود داده‌های واقعی در مورد دقت این دو خط نشت و سطح نشت نمی‌توان قضاؤت نمود با این حال به کارگیری هدایت هیدرولیکی ثابت به ازای هدایت هیدرولیکی



شکل ۱- هندسه سد مستطیلی بکار رفته در تحلیل نشت به همراه شرایط مزدی در حالت نشت دائم. الف: محیط همگن، ب: محیط غیر همگن



شکل ۲- منحنی دانه بندی مصالح استفاده شده در مطالعه حاضر



شکل ۳- خصوصیات هیدرولیکی مصالح استفاده شده در مدل سازی نشت در محیط همگن و غیر همگن سد مستطیلی

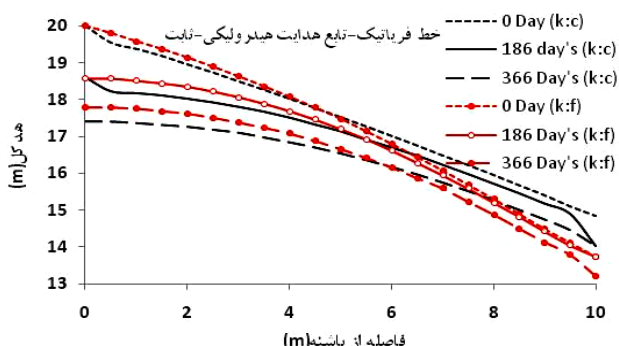
جدول ۱- مشخصات بدنی و مصالح سد خاکی حسنلو

نوع سد	طول تاج (متر)	ارتفاع تاج (متر)	عرض تاج آبرفتی (متر)	ضخامت پی (متر)	هدایت هیدرولیکی اشباع (سانسی متر بر روز)	بدنه بالادست	بدنه پایین دست	پی
غیر همگن بدون هسته	۵۲۷۰	۱۰/۷۵	۷	۱۷	۸۷/۵	۸۷/۵	۱۷/۵	۶/۶

هیدرولیکی ثابت و متغیر نشان می‌دهد که می‌تواند بر آنالیزهای پایداری نیز تأثیر قابل ملاحظه‌ای داشته باشد.

### محیط غیر همگن

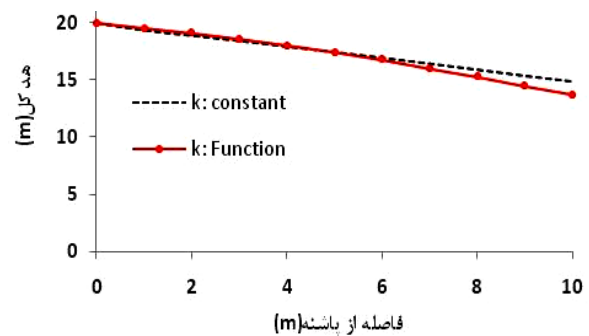
جهت مطالعه تأثیر هدایت هیدرولیکی ثابت و متغیر در محیط‌های غیرهمگن بر پدیده نشت، آنالیزهای مشابه محیط همگن انجام شد. هندسه مقاطع مطالعه شده در شکل ۱ نشان داده شده است. به طوریکه در بالادست یک لایه خاک ریزدانه با مشخصات همان خاک لایه همگن و یک لایه خاک درشت دانه به عنوان بدنه پایین دست انتخاب گردید. آنالیزهای این بخش در دو حالت دائم و غیردائم به صورت افزایش و کاهش ارتفاع سطح آب انجام یافت.



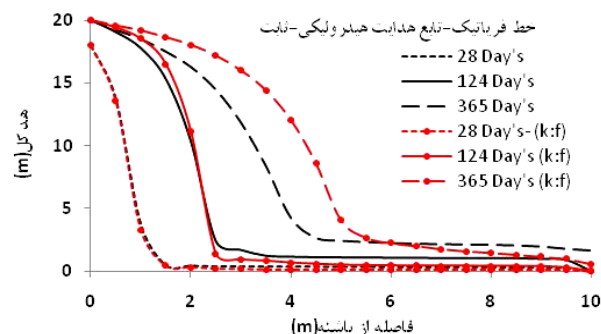
شکل ۶- تغییرات سطح نشت در حالت جریان غیر دائم در سد همگن مستطیلی در حالت پایین افتادگی سطح آب برای دو حالت هدایت هیدرولیکی ثابت و غیر ثابت

### جریان نشت دائم

شکل ۷، نتایج آنالیز نشت دائم با شرایط مرزی نشان داده شده در شکل ۱ را نشان می‌دهد. برای این حالت با ترکیب حالات مختلف به کارگیری هدایت هیدرولیکی ثابت و متغیر برای بدنه بالادست و پایین دست، چهار حالت متفاوت بررسی شد. با توجه به نتایج حاصله از به کارگیری هدایت هیدرولیکی ثابت برای بالادست و پایین دست، ارتفاع سطح نشت در این حالت، در کمترین مقدار در بین چهار حالت مختلف می‌باشد. در این حالت سطح نشت به صورت یک خط راست در بدنه بالادست بدست آمده است که با توجه به منحنی سهمی شکل سطح نشت، به نظر غیر منطقی می‌باشد. در حالت به کارگیری هدایت هیدرولیکی ثابت برای پایین دست و متغیر برای بالادست، منحنی نشت در بدنه بالادست به سمت بالا کشیده شده و شکل سهمی پیدا می‌کند. در حالت به کارگیری هدایت هیدرولیکی ثابت



شکل ۴- خط نشت برای نشت دائم از دیوار همگن نشان داده شده در شکل ۱ بر اساس هدایت هیدرولیکی ثابت و متغیر



شکل ۵- تغییرات خط نشت در نشت غیر دائم در سد همگن در حالت هدایت هیدرولیکی ثابت و متغیر

### حالات کاهش سطح آب

برای بررسی حالات کاهش سطح آب و پایین افتادگی آب بالادست که حالت دیگری از نشت غیر دائم را سبب می‌شود، آنالیز نشت با شرایط مرزی بالادست برابر با ۲۰ متر شروع و بر این اساس آنالیز نشت دائم به منظور ایجاد شرایط اولیه انجام شد. در ادامه سطح آب در بالادست با سرعت ثابت در مدت یک ماه به سطح صفر کاهش داده شد. در ادامه آنالیزهای غیر دائم با این شرایط با استفاده از هدایت هیدرولیکی ثابت و متغیر انجام گرفت. جهت بررسی و مقایسه بهتر تأثیر دو حالت مختلف به کارگیری هدایت هیدرولیکی، شرایط اولیه هر دو حالت یکسان و بر اساس منحنی نشت حاصل از هدایت هیدرولیکی متغیر انتخاب گردید. شکل ۶ سه گام زمانی متفاوت از این آنالیز را نشان می‌دهد. نتایج حاصل از این حالت نیز مشابه با حالت افزایش سطح آب بوده به طوریکه آهنگ پایین افتادن خط نشت در بالادست برای هدایت هیدرولیکی ثابت سریع‌تر بوده و به عبارت دیگر زهکشی بخش بالادست با سرعت بیشتری صورت می‌گیرد در حالیکه برای نیمه پایین دست بدنه عکس این حالت اتفاق می‌افتد. نتایج این قسمت علاوه بر مقدار نشت عبوری از بدنه، تفاوت قابل ملاحظه‌ای توزیع فشار آب منفذی را در دو حالت هدایت

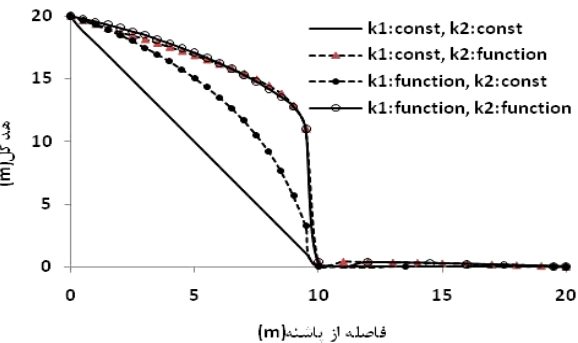
مقایسه سطح نشت در این آنالیزها با توجه به ترکیب حالات مختلف به کارگیری هدایت هیدرولیکی ثابت و متغیر برای لایه بالادست و پایین دست نشان می‌دهد که شکل منحنی‌های نشت تحلیل یافته به دو فرم کلی می‌باشد. به طوریکه شکل منحنی نشت در حالت به کارگیری هدایت هیدرولیکی ثابت برای پایین دست و هدایت هیدرولیکی ثابت یا متغیر برای بالادست (شکل ۱۰ الف و ج) بسیار به هم شبیه می‌باشد. همچنین در حالت به کارگیری هدایت هیدرولیکی متغیر برای پایین دست و هدایت هیدرولیکی ثابت یا متغیر برای بالادست نتایج تحلیل بسیار مشابه می‌باشد. به عنوان اولین نتیجه گیری منطقی، شکل منحنی نشت در محیط غیرهمگن دولایه به خصوصیات هیدرولیکی مصالح پایین دست بستگی دارد. با توجه به نتایج ارائه شده، به دلیل هدایت هیدرولیکی بیشتر مصالح لایه دوم، اختلاف منحنی نشت در این لایه برای هر چهار حالت مختلف تقریباً یکسان است. با این حال به علت عدم وجود نتایج آزمایشگاهی، بحث در خصوص میزان دقت هر یک از منحنی‌ها غیر منطقی می‌باشد. علاوه بر این، نکته دیگری که از این بررسی‌ها و شکل ۱۰ قابل استخراج است این است که در حالت به کارگیری هدایت هیدرولیکی متغیر در زمان‌های مساوی پس از شروع جریان، منطقه اشباع بیشتری نسبت به حالت استفاده از هدایت هیدرولیکی ثابت در ناحیه بالادست مشاهده می‌شود و این از دید توسعه فشار آب منفذی و پارامترهای وابسته می‌تواند بسیار قابل ملاحظه باشد.

### آنالیز نشت غیر دائم، کاهش سطح آب

برای بررسی شرایط نشت در حالت کاهش سطح آب، شرایط اولیه بر اساس آنالیز نشت دائم حالت هدایت هیدرولیکی متغیر برای بالادست و پایین دست انتخاب شد (شکل ۹). نتایج این بخش از آنالیزها در شکل ۱۱ نشان داده است. همان‌طوری که در شکل‌ها مشخص است سرعت زهکشی لایه بالادست در حالت به کارگیری هدایت هیدرولیکی ثابت برای هر دو لایه، بیشترین مقدار را دارا می‌باشد (شکل ۹-الف) که با انتخاب هدایت هیدرولیکی متغیر برای بالادست و هدایت هیدرولیکی ثابت برای پایین دست، سرعت پایین افتادن سطح آب در لایه بالادست اندکی کاهش پیدا می‌کند (شکل ۹-ج) که این کاهش سرعت با انتخاب هدایت هیدرولیکی متغیر و ثابت به ترتیب برای پایین دست و بالادست بیشتر مشاهده می‌گردد و نهایتاً کمترین سرعت پایین افتادگی خط نشت زمانی مشاهده می‌شود که برای هر دو لایه هدایت هیدرولیکی متغیر انتخاب شود. در این حالت از آنالیز نشت نیز مشابه با حالت افزایش سطح آب شکل منحنی نشت وابستگی بیشتری به حالت هدایت هیدرولیکی

برای بالادست و متغیر برای پایین دست، منحنی مربوط به خط نشت به سمت بالا کشیده می‌شود و در نهایت در حالتی که برای بالادست و پایین دست هدایت هیدرولیکی متغیر به کار گرفته می‌شود شکل منحنی نشت در این حالت با اندکی اختلاف با حالتی که برای بالادست هدایت هیدرولیکی ثابت و برای پایین دست متغیر، تقریباً منطبق بر منحنی نشت حاصل از اعمال هدایت هیدرولیکی متغیر ارائه شده در شکل ۴ می‌باشد. به دلیل هدایت هیدرولیکی بسیار بالای بدن پایین دست (شکل ۴)، هر چهار منحنی نشت در این لایه تقریباً بر روی هم منطبق شده‌اند. با توجه به اینکه شکل خط نشت در حالت به کارگیری هدایت هیدرولیکی متغیر در حالت لایه همگن و غیر همگن برای لایه اول از محیط غیرهمگن و کل محیط همگن یکسان است می‌توان صحبت به کارگیری هدایت هیدرولیکی متغیر را در آنالیز نشت تأیید کرد. البته اختلاف بین منحنی خط نشت در حالت به کارگیری هدایت هیدرولیکی ثابت برای بالادست و هدایت هیدرولیکی متغیر برای پایین دست تقریباً یکسان است.

با مقایسه مقادیر جریان عبوری از بالا و زیر خط نشت در جدول ۲، مشاهده می‌شود که در حالت هدایت هیدرولیکی متغیر برای هر دو ناحیه، مقدار جریان عبوری از پایین خط نشت بیشترین مقدار را نسبت به سه حالت دیگر دارد که نشان‌دهنده رفتار مشابه با شرایط همگن دارد. همچنین در حالت به کارگیری هدایت هیدرولیکی متغیر برای پایین دست، نتایج نسبتاً مشابهی نسبت به دو حالت دیگر دارد.



شکل ۷- آنالیز نشت دائم از بدن غیر همگن در حالات مختلف هدایت هیدرولیکی ثابت و متغیر برای مصالح

### آنالیز نشت غیر دائم- افزایش سطح آب

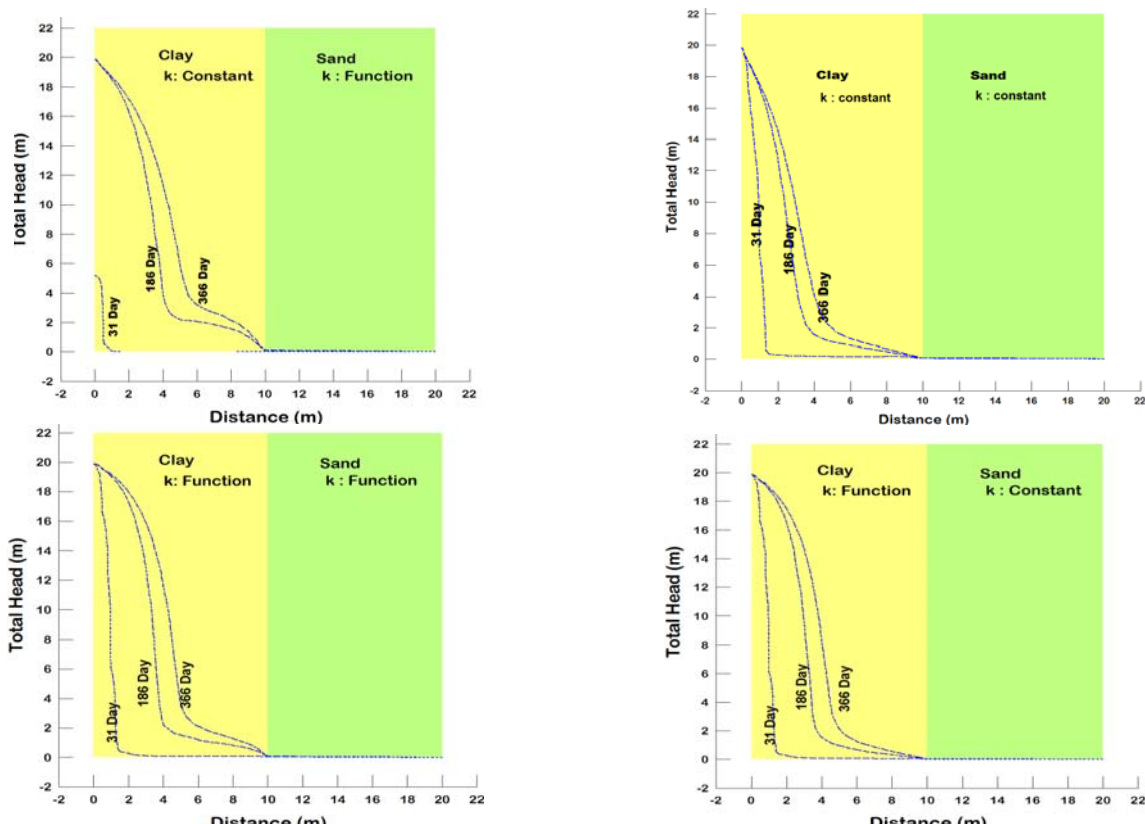
به منظور بررسی نشت غیر دائم در محیط غیر همگن، آنالیزها در دو حالت افزایش و کاهش سطح آب انجام گرفت. در حالت افزایش سطح آب، تراز آب در بالا دست با آهنگ ثابت از صفر در مدت یک ماه به ۲۰ متر افزایش یافته و سپس ثابت باقی می‌ماند. نتیجه این آنالیزها در شکل ۸ نشان داده شده است.

زیر خط نشت دارد. در حقیقت، در ناحیه غیر اشباع به دلیل وجود جابهای هوا در فضای بین ذرات، عملاً بخش قابل ملاحظه مسیر جریان مسدود و یا محدود شده و در نتیجه این بخش تأثیر کمی در انتقال جریان خواهد داشت لذا نتایج حاصل از تحلیل نشت با به کارگیری تابع هدایت هیدرولیکی که خصوصیات واقعی قابلیت انتقال آب در محیط متخلخل را بیان می کند عملاً باید به واقعیت نزدیکتر باشد.

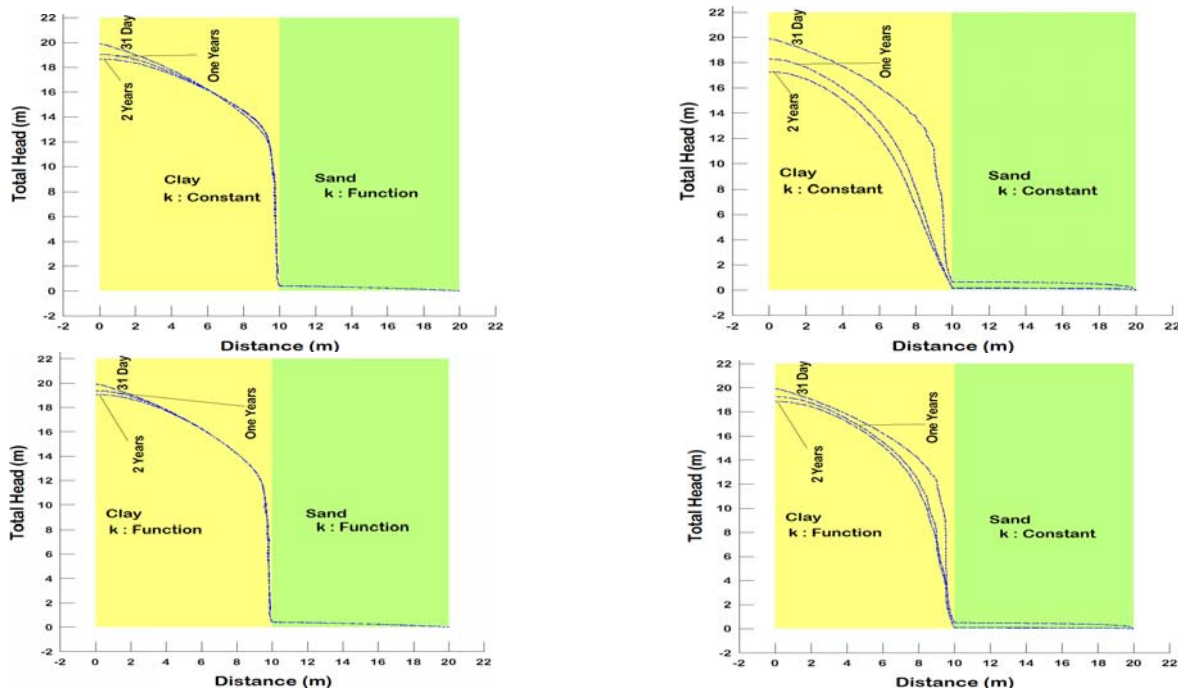
پایین دست دارد. به طوریکه وقتی هدایت هیدرولیکی پایین دست متغیر در نظر گرفته می شود سرعت زهکشی لایه بالادست بدون توجه به هدایت هیدرولیکی ثابت یا متغیر آن شدیداً کاهش می یابد. هرچند که انتظار می رود زهکشی این لایه از بخش بالادست که منتهی به مرز خارجی است سریع تر صورت بگیرد. ولی به کارگیری هدایت هیدرولیکی ثابت در پایین دست باعث می شود که از بالای خط نشت نیز بخش قابل ملاحظه ای از جریان عبور کند. یعنی ناحیه غیر اشباع بالای خط نشت از همان مقدار هدایت هیدرولیکی برخوردار است که

جدول ۲- مقدار جریان عبوری از بدنه سد همگن و غیر همگن مستطیلی در حالت نشت دائم به همراه مقدار جریان عبوری از بخش اشباع و غیر اشباع (بالا و زیر خط نشت)

نوع سد- هدایت هیدرولیکی	جریان کل (m <sup>3</sup> /day)	جریان غیر اشباع (m <sup>3</sup> /day)	جریان اشباع (m <sup>3</sup> /day)	درصد جریان غیر اشباع	درصد جریان اشباع
همگن- ثابت	۰/۱۳۷	۰/۰۰۷	۰/۱۳۰	۴/۸۳۶	۹۵/۱۶۴
همگن- متغیر	۰/۱۳۴	۰/۰۰۳	۰/۱۳۰	۲/۵۳۷	۹۷/۴۶۳
ناهمگن- بالادست و پایین دست ثابت	۰/۲۸۱	۰/۲۱	۰/۰۷۱	۷۴/۷۸	۲۵/۲۲۰
ناهمگن- بالادست ثابت و پایین دست	۰/۱۴۷	۰/۰۱۵	۰/۱۳۲	۹/۹۱۳	۹۰/۰۸۷
ناهمگن- بالادست متغیر و پایین دست	۰/۱۶۷	۰/۰۶۳	۰/۱۰۳	۳۷/۹۵۴	۶۲/۰۴۶
ناهمگن- بالادست و پایین دست متغیر	۰/۱۳۹	۰/۰۰۹	۰/۱۳۰	۶/۷۰۷	۹۳/۲۹۳



شکل ۸- آنالیز نشت غیر دائم محیط غیر همگن در حالت افزایش سطح آب در شرایط به کارگیری هدایت هیدرولیکی ثابت و متغیر

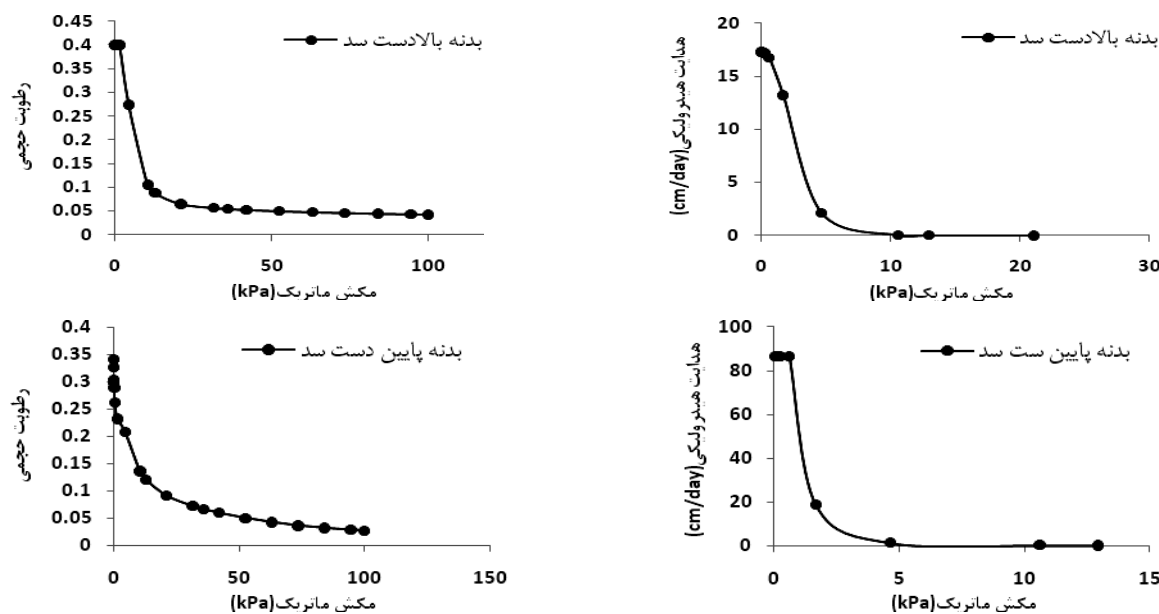


شکل ۹- آنالیز نشت غیر دائم محیط غیر همگن در حالت کاهش سطح آب در شرایط به کارگیری هدایت هیدرولیکی ثابت و متغیر

خصوصیات این مصالح ارائه شده است. شرایط مرزی هیدرولیکی بر اساس تغییرات تراز سطح مخزن ثبت شده در طول سال ۱۳۸۱ اعمال گردید (شکل ۱۱ (الف)). جهت بررسی دقت نتایج حاصل از داده‌های مربوط به دو سری پیزومتر تعییه شده در فاصله ۱۱ متر از محور سد در بدنه پایین دست استفاده گردید.

#### مطالعه موردی- سد خاکی حسنلو

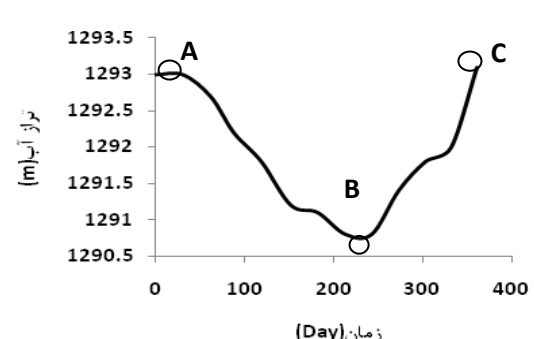
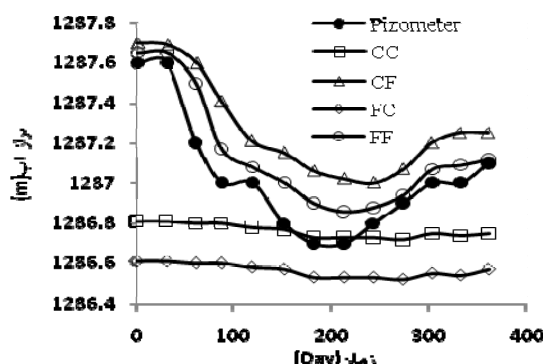
سد حسنلو از نظر شکل مقطع و همچنین نوع مصالح شباهت سیار زیادی با مدل سد مستطیلی غیر همگن بررسی شده دارد. برای بررسی شرایط جریان در این سازه توابع هدایت هیدرولیکی و منحنی مشخصه با توجه به هدایت هیدرولیکی اشباح بر اساس منحنی دانه‌بندی مصالح و روابط ارائه شده استخراج گردید که در شکل ۱۰



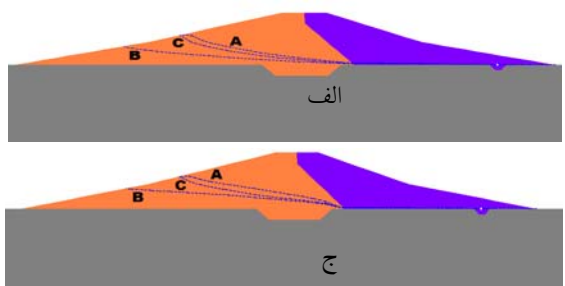
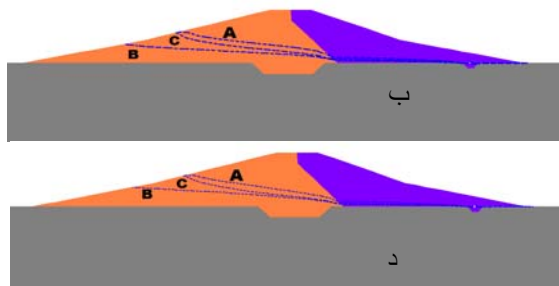
شکل ۱۰- منحنی هدایت هیدرولیکی و منحنی نگهداشت رطوبتی محاسبه شده برای مصالح بدنه سد خاکی حسنلو

محور سد را به همراه نوسانات خط نشت حاصل از آنالیزهای مدل را نشان می‌دهد. داده‌های واقعی با نتایج آنالیز حالت به کارگیری هدایت هیدرولیکی متغیر برای بالادست و پایین دست بیشترین تطابق و منحنی تراز مربوط به حالت بکارگیری حالت هدایت هیدرولیکی ثابت برای پایین دست و بالادست کمترین تطابق را دارد. از دو حالت دیگر بررسی شده، در حالت بکارگیری هدایت هیدرولیکی ثابت و متغیر و ثابت به ریب برای پایین دست و بالادست تطابق نتایج حاصله با داده‌های ثبت شده بیشتر است. آنالیز مربوط به NSE و RMSE و داده‌های واقعی و ثبت شده و نتایج تحلیل مدل این را تائید می‌کند (جدول ۳).

برای اعمال شرایط اولیه آنالیز نشت دائم با تراز آب مخزن در حدود ۱۲۹۳ متر انجام شد. شکل ۱۲، نتیجه آنالیزهای صورت گرفته را برای ۳ گام زمانی مختلف نشان می‌دهد. همان‌طوری که مشخص است تغییرات مشاهده شده در منحنی‌های نشت، مشابه با منحنی‌های سطح نشت مربوط به مقاطع مستطیلی بررسی شده می‌باشد و الگوهای نشت ایجاد شده بر اساس هدایت هیدرولیکی ثابت و متغیر متفاوت می‌باشد. به طوریکه در حالت هدایت هیدرولیکی متغیر برای بدنه‌ی پایین دست، خطوط نشت مربوط به زمان‌های مختلف نسبت حالت به کارگیری هدایت هیدرولیکی ثابت، در تزار بالاتری قرار دارند. شکل ۱۱ (ب) تراز ثبت شده در پیزومتر واقع در فاصله ۱۱ متری از



شکل ۱۱- تغییرات تراز سطح آب در مخزن سد حسنلو (الف) از اول و تراز آب ثبت شده و محاسبه شده در پیزومتر واقع در فاصله ۱۱ متر از محور سد فروردین تا ۲۷ اسفند سال ۱۳۸۱



شکل ۱۲- خط نشت محاسبه شده در سد حسنلو. (A) شرایط اولیه سطح آب، (B) در زمان حداقل تراز سطح آب مخزن پس از ۲۴۵ روز، (C) انتهای دوره پس از ۳۶۵ روز (حالات A، B و C بر اساس شکل ۱۱)

جدول ۳- میانگین مربعات خط سطح تراز آب حاصل از آنالیز مدل نسبت به داده‌های ثبت شده در پیزومترهای A و B

NSE	RMSE	نوع هدایت هیدرولیکی		پایین دست
		بالادست	پایین دست	
-0/74	.1/۱۵	.1/۱۵	.1/۱۵	ثابت
-۲/۵۸	.1/۳۵	.1/۳۵	.1/۳۵	ثابت
.0/۰۸	.1/۰۸	.1/۰۸	.1/۰۸	متغیر
.0/۷۵	.1/۰۲	.1/۰۲	.1/۰۲	متغیر

## نتیجه‌گیری

- Fredlund,D.G and Rahardjo, H. 1993. Soil mechanic for unsaturated soil. John wiley & sons Inc.
- Fredlund,D.G and Xing,A. 1994. Equations for the soil-water characteristic curve. Canadian Geotechnical Journal. 31 (4): 521-532.
- Ghanbarian-Alavijeh,B., Liaghat.A., Huang,G.H and Van Genuchten,M.Th. 2010. Estimation of the van genuchten soil water retention properties from soil textural data. Pedosphere, 20 (4): 456-465.
- Green,R.F and Corey,J.C. 1971. Calculation of hydraulic conductivity: a further evaluation of some predictive methods. Soil Sci. Soc. Am. Proceeding. 35: 3-8.
- Gupta,S.C and Larson,W.E. 1979. Estimating soil water retention characteristics from particle size distribution, organic matter percent and bulk density. Water resource research. 15: 1633-1635.
- Ji,Ch.N., Wang,Y.Z and Shi,Y. 2005. Application of modified EP method in steady seepage analysis. Computers and Geotechnics. 32 (1): 27-35.
- Krahn,J. 2004. Seepage modeling with Seep/w: an engineering methodology. Geo-Slope International Ltd. Canada.
- Leij, F.J., Alves, W.J., Van Genuchten, M.Th., and Williams, J.R. 1996. Unsaturated soil hydraulic database, UNSODA 1.0 User's manual. EPA Report 600/R96/095. USEPA, Ada
- Moriasi,D.N., Arnold,J.G., Van Liew,M.W., Harmel, R.D and Veith,T.L. 2007. Model evaluation guidelines for systematic quantification of accuracy in watershed simulation. American society of agriculture and biological engineers. 50 (3): 885-900.
- Munoz,J.J., Delaure,E and De Gennaro,V. 2008. Experimental determination of unsaturated hydraulic conductivity in compacted silt. Unsaturated soils: Advances and in geo-engineering. Taylor and Francis group. London.
- Sang Il,H., and Sang Il,Ch. 2006. Use of a logarithmic distribution model for estimation soil water retention curves from particle-size distribution data. Journal of Hydrology. 323: 325-334.
- Saxton,K.E., Rawls,W.J., Romberger,J.S and papendik, R.I. 1986. Estimating generalized soil-water characteristics from texture. Soil Sci. Soc. Am. Journal. 50 (4): 1031-1036.
- Srivastava,A., Sivakumar Babu,G.L and Halder,S. 2010. Influence of spatial variability of permeability on steady state seepage and slope stability analysis. Engineering Geology. 110 (3-4): 93-101.

در این تحقیق با بررسی تأثیر هدایت هیدرولیکی بر خصوصیات نشت آب از بدنه سدهای خاکی نتایج زیر قابل بیان است:

- ۱- در حالتی که نشت دائم از محیط همگن صورت گیرد، به کارگیری هدایت هیدرولیکی ثابت (هدایت هیدرولیکی اشباع) باعث خواهد شد که ضخامت لایه اشباع بیشتر از حالتی باشد که هدایت هیدرولیکی به صورت تابعی از مقدار مکش ماتریکس خاک یا درصدی از رطوبت اشباع خاک بیان می‌گردد.
- ۲- در حالت به کارگیری هدایت هیدرولیکی ثابت، بخش قابل توجهی از جریان از بخش فوقانی خط نشت عبور می‌کند در صورتی که در حالت به کارگیری هدایت هیدرولیکی متغیر جریان عبوری از بخش غیراشباع بسیار کم و جزئی می‌باشد.
- ۳- در حالت جریان انتقالی و در شرایط به کارگیری هدایت هیدرولیکی ثابت سرعت اشباع شدن لایه در حالت افزایش سطح آب در مرزها و سرعت زهکشی در حالت کاهش سطح آب بیشتر از حالتی خواهد بود که هدایت هیدرولیکی به صورت تابعی از مقدار مکش ماتریکس خاک بیان می‌گردد. به دلیل اهمیت موقعیت خط نشت و به تبع آن فشار آب حفره‌ای بر تنش مؤثر در سدهای خاکی، این نتایج بر روی آنالیزهای پایداری بدنه سدهای خاکی می‌تواند تأثیر گذار باشد.
- ۴- در حالتی که هدایت هیدرولیکی برای حالت مصالح غیر همگن به صورت تابع بیان گردد دقت نتایج تحلیل عددی تطابق بهتری با داده‌های واقعی خواهد داشت. در این حالت لایه‌ی خصوصیات مصالح پایین دست تأثیر قابل توجه در صحبت نتایج خواهد داشت به طوریکه جهت حصول نتایج واقع بینانه لازم است مصالح لایه پایین دست در جهت جریان بصورت تابع هدایت هیدرولیکی بیان گردد. در صورتیکه در تحلیل نشت از بدنه سدهای خاکی غیر همگن مقدار ثابتی بر هدایت هیدرولیکی مصالح اتخاذ شود طبق نتایج مدل ناش- ساتکلایف نتایج ممکن است فاقد اعتبار باشد.

## منابع

- Arya,L.M and Paris,J.F. 1981. A physicoempirical model to predict the soil moisture characteristic for particle-size distribution and bulk density data. Soil Soil Science Society of America Journal. 45: 1023-1030.
- Balaam,N. 2005. Finite element seepage analysis: FESEEP. Center for Geotechnical Research University of Sydney.
- Bardet,J.P., Tobita,T. 2002 A practical method for solving free-surface seepage problems. Computers and Geotechnics. 29: 451-475.

- Van Genuchten,F.J., Leij,F.J and Yates,S.R. 1991. The RETC code for quantifying the hydraulic functions of unsaturated soils. U.S. Salinity: Laboratory. Agricultural research service. California. USA.
- Xu,Y.Q., Unami,K and Kawachi,T. 2003. Optimal hydraulic design of earth dam cross section using saturated-unsaturated seepage flow model. Advance in Water Resource. 26 (1): 1-7.
- Zhang,Y.L., Chen,R and Li,J.H. 2011. Evaluation the accuracy of unsaturated hydraulic conductivity determined by instantaneous profile method. Unsaturated Soils: Theory and Practice. Proceeding. Kasetsart University, Thailand.
- Smettem,K.R.J and Gregory,P.J. 1996. The relation between soil water retention and particle-size distribution parameters for some predominantly sandy western Australian soils. Aust. J. Soil Research. 34 (5): 695-708.
- Timlin, D.J. Pachepsky, Ya.A, Acook, B. and whisler,F. 1996. Indeirect estimation of soil hydraulic properties to predict soybean yield using GLYSIM. Agricultural system. 52 (2/3). pp. 331-353.
- Van Genuchten,M.Th. 1980. A closed form equation for predicting hydraulic conductivity of unsaturated soils. Soil science society of America journal. 44: 892-898.

## Investigation on the Effects of Hydraulic Conductivity Function in Unconfined Seepage Analysis (Case study: Hassanlu Earth Dam)

H. Ahmadi<sup>1\*</sup>, V. Rezaverdinejad<sup>2</sup>

Received: Oct. 12, 2013

Accepted: Aug. 13, 2014

### Abstract

In this research the emphasis of the application of hydraulic conductivity function in seepage analysis through in homogenous and nonhomogeneous medium was investigated. For this aim, different forms of flow in mentioned mediums were analyzed via a finite element numeric model based on hydraulic properties were selected from unsaturated soils database (UNSOADA). In order to validate the results annual recorded data in Hassanlu earth dam was used. The results showed, in nonhomogeneous medium as well as zoned earth dams, the role of downstream material is more significant. Furthermore, the phreatic line in the state of employing constant conductivity instead in conductivity function rises rapidly in the conditions of rising water lever at the boundaries while in drawdown it drain faster. Comparison between filed data and model results also showed to get realistic results employing of hydraulic conductivity in the form function is essential at least for downstream materials.

**Key words:** Hydraulic Conductivity Function, Material, Earth Dam, Seepage

1- Assistant Professor, Department of Water Engineering , Faculty of Agriculture, Urmia University  
2- Assistant Professor, Department of Water Engineering , Faculty of Agriculture, Urmia University  
(\* - Corresponding Author Email: [hojjat.a@gmail.com](mailto:hojjat.a@gmail.com))